

姓 名 _____

准考证号 _____

绝密★启用前

长郡中学 2023 届模拟试卷(一)

地 理

注意事项:

1. 答卷前,考生务必将自己的姓名、准考证号填写在答题卡上。

2. 回答选择题时,选出每小题答案后,用铅笔把答题卡上对应题目的答案标号涂黑。如需改动,用橡皮擦干净后,再选涂其他答案标号。回答非选择题时,将答案写在答题卡上。写在本试卷上无效。

3. 考试结束后,将本试题卷和答题卡一并交回。

一、选择题(本大题共 16 小题,每小题 3 分,共 48 分。在每小题给出的四个选项中,只有一项是符合题目要求的)

国家统计局数据显示,2022 年我国全年出生人口 956 万人,人口出生率为 6.77‰;死亡人口 1041 万人,人口死亡率为 7.37‰;人口自然增长率为 -0.60‰。2016 年以来我国每年新出生人口持续下降。据此完成 1~2 题。

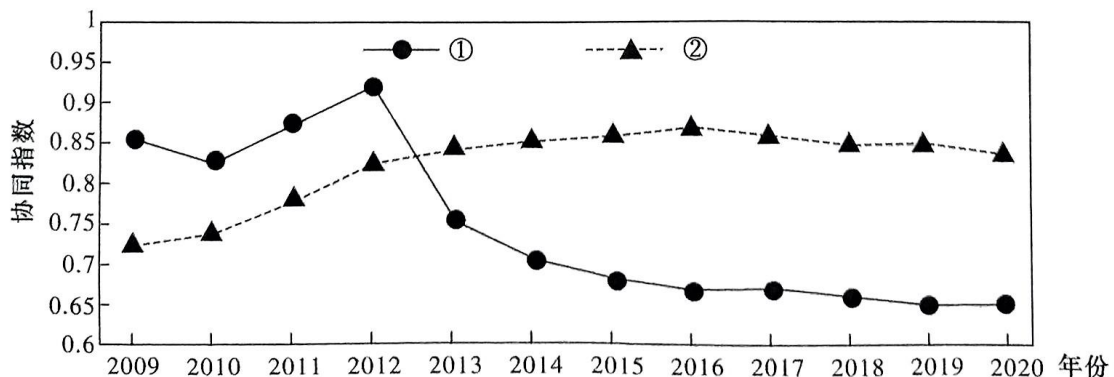
1. 近年来,我国每年新出生人口持续下降,深层次的主要原因是

- A. 育龄女性的规模下降
- B. 女性结婚年龄推迟
- C. 群众生育意愿较低
- D. 新冠疫情的影响

2. 现阶段我国人口变化会导致

- A. 劳动力短缺
- B. 养老负担加重
- C. 消费能力下降
- D. 人口红利消失

生产性服务业是与制造业直接相关的配套产业,包括交通运输、仓储和邮政业、批发和零售业、租赁和商业服务业等低端服务业,以及信息传输、计算机服务和软件业、金融业和科学研究、技术服务和地质勘查业等高端服务业。生产性服务业多依附于制造业而存在,集聚在制造业企业周围。下图示意 2009—2020 年上海市与浙江省制造业和生产性服务业之间的协同指数(指数越大,两者的空间协同条件越好)。读图完成 3~4 题。



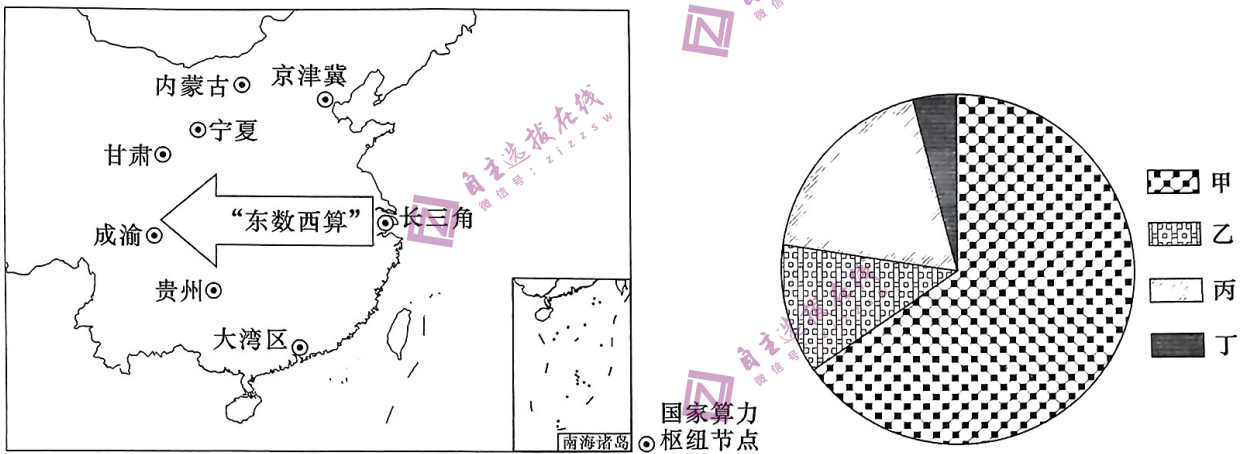
3. 据图分析, 下列说法正确的是

- A. ①是上海, 2012 年以前制造业与生产性服务业配套发展
- B. ①是浙江, 2012 年以后实现了传统制造业的转型升级
- C. ②是上海, 2012 年以前生产性服务业空间集聚程度较低
- D. ②是浙江, 2012 年以后制造业以资金和技术密集型为主

4. 2012 年后, ①地制造业与生产性服务业的协同指数明显下降的根本原因是

- A. 政府政策支持
- B. 网络技术进步
- C. 产业转型升级
- D. 交通运输发展

2022 年 2 月 17 日, 国家发展改革委等四部门同意在京津冀、长三角、粤港澳大湾区、成渝、内蒙古、贵州、甘肃、宁夏等 8 地启动建设国家算力枢纽节点, 并规划了 10 个国家数据中心集群。至此, 全国一体化大数据中心体系完成总体布局设计, “东数西算”工程正式全面启动。“东数西算”就是在西部地区发展数据中心, 把东部地区的数据放到西部地区去计算和处理, 促进东西部协同联动。扇形统计图是 2019 年中国数据中心在东、中、西和东北地区的分布状况。据此完成 5~7 题。



5. 甲、乙、丙、丁分别代表的四大地区是

- A. 西部地区、中部地区、东北地区、东部地区
- B. 东部地区、东北地区、中部地区、西部地区
- C. 东部地区、西部地区、中部地区、东北地区
- D. 东部地区、中部地区、西部地区、东北地区

6. 数据中心产业链条长、投资规模大、带动效应强。算力枢纽和数据中心集群的建设, 直接带动的产业有

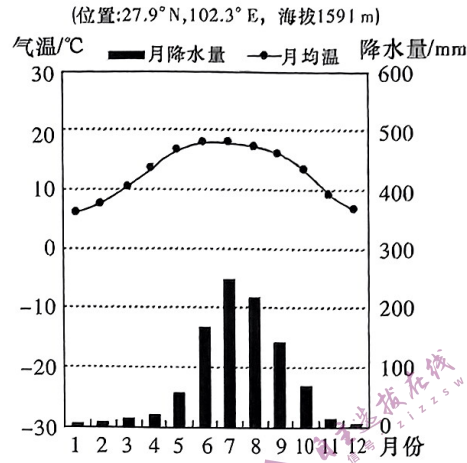
- A. 土建工程建设、清洁能源开发
- B. 信息通信工程、矿产资源开发
- C. 基础软件工程、生态农业开发
- D. 旅游资源开发、IT 设备制造

7. 从“东数西算”的角度出发, 下列产业最适合先向西部地区转移的是

- A. 工业互联网
- B. 远程医疗
- C. 金融证券
- D. 存储备份

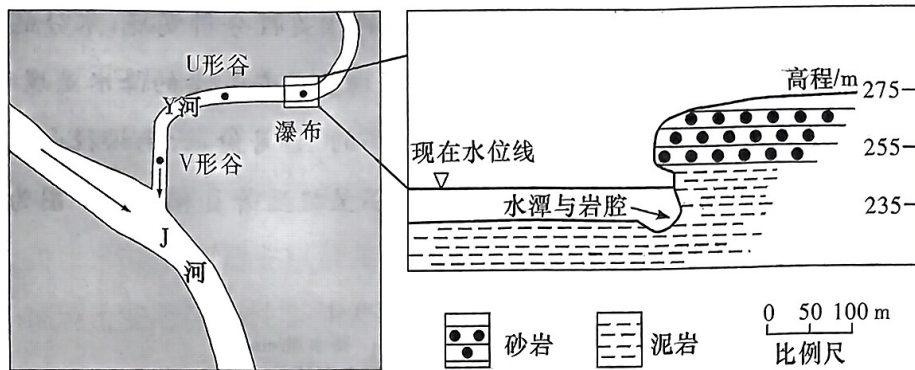
树木年轮的宽度与气候的年际变化有关。树木径向生长速度快的年份, 年轮宽度较大。我国西南地区广泛分布的云南松是重要的造林树种, 地理科考队调查了云南丽江高山植物园(海拔在 3000 米以上)内两处不同海拔采样点的云南松。较低海拔的采样点朝南, 地势平缓, 土壤砂石较多; 较高海拔的采样点位于山谷, 坡向东南。

较好的水热组合对云南松生长影响显著。与水分的相关性分析发现,水分的可利用性严重制约着较低海拔云南松径向生长,而较高海拔云南松径向生长与夏季的降水呈现明显的负相关。与气温的相关性分析发现,跟正常年份相比,月均温较高的10月份,云南松径向生长与气温呈显著正相关;月均温较高的5月份,云南松径向生长与气温呈极显著负相关。下图为丽江多年平均气温与降水分布图。据此完成8~10题。



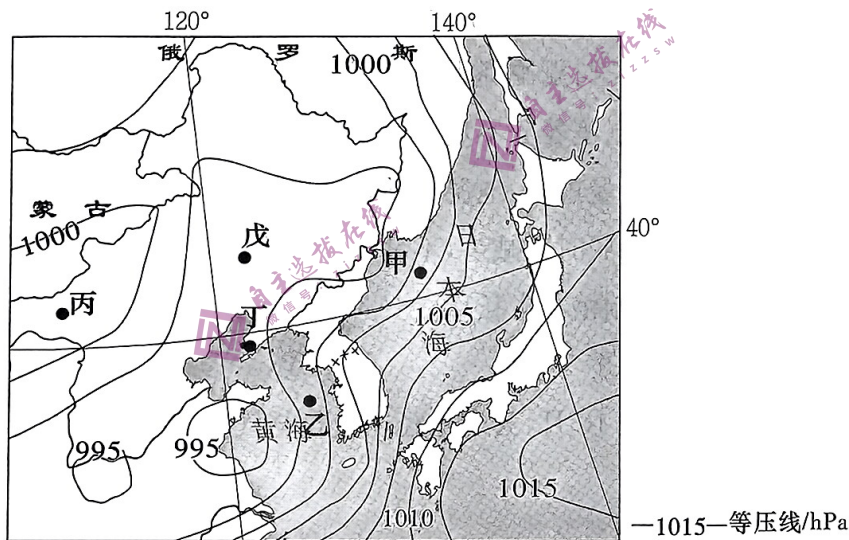
8. 较低海拔采样点云南松径向生长受水分条件的制约远大于较高海拔采样点的原因是
- 高海拔地区太阳辐射较强,地表蒸发作用较强,水分条件较差
 - 高海拔地区坡度较陡,土壤水分下渗较快,水分条件较差
 - 低海拔地区降水较少,水分汇集较慢,水分条件较差
 - 低海拔地区土壤中砂石较多,保水能力弱,水分条件较差
9. 该地区较高海拔云南松径向生长与夏季降水呈负相关的原因可能是
- ①夏季降水较多,侵蚀作用强,土壤养分不足,不利于植物生长
 - ②夏季降水较多,土壤中水分含量过多,地温偏低,不利于植物生长
 - ③夏季降水较多,太阳辐射和日照时数减少,不利于植物生长
 - ④夏季降水较多,风力较大,抑制植物生长
- A. ①② B. ②③ C. ②④ D. ①③
10. 月均温高于正常年份的5月与10月,云南松径向生长与气温的相关性差异显著,其主要影响因素是
- 热量条件
 - 水分条件
 - 水热组合
 - 光照条件

Y河位于四川盆地东部丘陵地区,整条河流地势起伏变化较均匀,汇入J河。Y河自汇水口向上依次出现V形谷、U形谷、瀑布,其中V形谷河段河床紫色土和泥岩(岩性较软)发育;U形谷是类似冰川刨蚀作用形成的两岸陡直的谷地,该河段河床砂岩(岩性较硬)覆于泥岩之上,形成“砂岩在上,泥岩在下”的岩层分布;瀑布丰水期的水位落差高度较枯水期大,下方形成巨大的岩腔和深度超过3 m的水潭,水潭周围堆积着大量的崩塌巨石。下图示意Y河部分河段及瀑布纵剖面。据此完成11~13题。



11. 导致 Y 河下游为 V 形河谷, 上游为 U 形河谷的原因是
 ①岩性差异 ②侵蚀阶段差异 ③流量差异 ④流速差异
 A. ①② B. ②③ C. ③④ D. ①④
12. 关于瀑布下切侵蚀作用最强的季节和原因的描述, 正确的是
 A. 冬季 冻融分化强烈, 加剧了下切侵蚀
 B. 冬季 降雪多, 流量大, 下切侵蚀强
 C. 夏季 降水多, 流速快, 下切侵蚀强
 D. 夏季 温差大, 物理风化强, 加剧了下切侵蚀
13. 在现有变化趋势下, 瀑布位置的移动方向及主要外力作用是
 A. 上游 沉积作用 B. 上游 侵蚀作用 C. 下游 沉积作用 D. 下游 侵蚀作用

通过海平面等压线分布, 可以比较各地气压的高低、天气系统的特点及天气实况。下图为某日亚洲东部部分地区海平面等压线分布图。据此完成 14~16 题。



14. 图中甲区域出现了 6 级以上大风, 对其形成的主要原因的推断, 正确的是
 ①距冬季风源地近 ②等压线密集, 水平气压梯度力大 ③海面摩擦力小 ④狭管效应的影响
 A. ② B. ②③ C. ①②③ D. ①②③④
15. 有关丙、丁两地该日气温昼夜变化的差异及原因的描述, 正确的是
 A. 丙地大于丁地 丙地位于内陆, 丁地濒临海洋; 海陆因素
 B. 丙地大于丁地 丙地受低压控制, 天气晴朗, 丁地受高压控制, 云量较大; 天气状况
 C. 丙地小于丁地 丙地位于内陆, 丁地濒临海洋; 海陆因素
 D. 丙地小于丁地 丙地受低压控制, 天气晴朗, 丁地受高压控制, 云量较大; 天气状况

16. 图示时刻的 2 小时之后, 戊地出现了降水天气, 此次降水的类型是

- A. 对流雨 B. 地形雨 C. 锋面雨 D. 气旋雨

二、非选择题(本大题共 4 小题, 共 52 分)

17. 阅读图文材料, 完成下列要求。(10 分)

广西北部湾经济区是我国与东盟沟通的重要桥梁, 也是“一带一路”有机衔接的重要门户。

材料一—目前, 广西货物主要经西江(珠江支流)到珠三角出海, 西江水道的梧州船闸拥堵滞航现象严重, 而作为北部湾深水良港的钦州港吞吐量排名仅居全国第 14 位。2022 年 8 月, 广西平陆运河正式开工建设。平陆运河的开通将结束“广西货物不走广西港”的尴尬历史。图 1 为广西境内珠江水系分布图, 图 2 为平陆运河布局示意图。

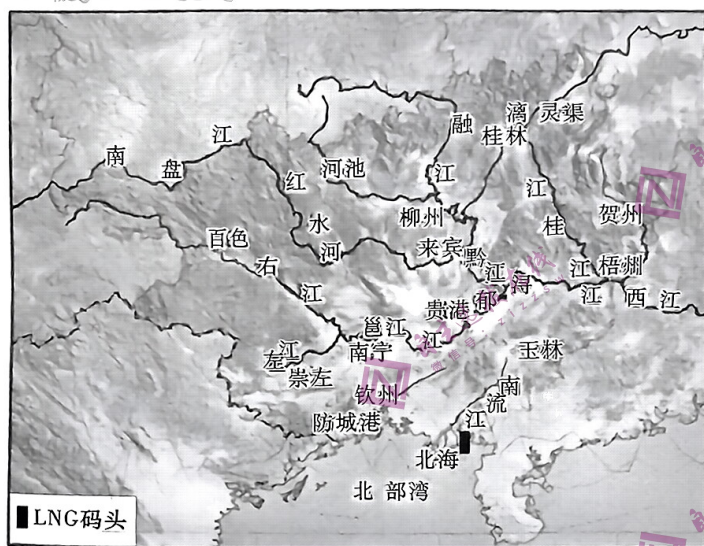


图1

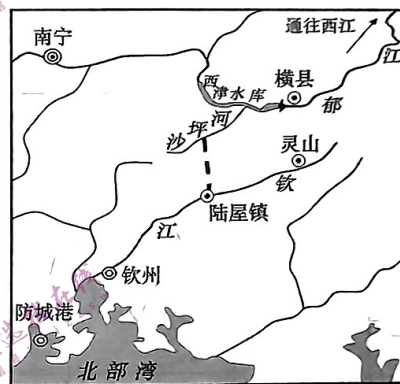


图2

材料二 LNG(液化天然气)是将天然气压缩、冷却后加工而成的液体, 便于运输和储存。近年来, 随着进口 LNG 的数量不断增加, 我国的 LNG 接收站数量呈稳定增长趋势。北海 LNG 接收站是我国西南沿海首个大型 LNG 终端, 能接收从 LNG 船运来的产品, 并储存、再气化后供给用户。

(1) 说明广西货物走广东出海, 不走广西港的原因。(3 分)

(2) 简述建设平陆运河的交通意义。(4 分)

(3) 阐述建设 LNG 接收站对我国能源与环境安全的意义。(3 分)

18. 阅读图文材料, 完成下列要求。(15 分)

广东惠州黄洞水库三面环山, 为小型水库, 水库库区蓄水前土地利用类型为农田, 其汇水流域内亚热带常绿阔叶林覆盖率近 80%, 最大高差不足 200 米。图 1 示意黄洞水库的位置、汇水流域及取样点。

黄洞水库中的沉积物大都来源于汇水流域内的土壤侵蚀,因此,可通过对这些沉积物特征的探究反推流域内土壤侵蚀状况,沉积物中的炭屑为山火产物,C/P值(总炭屑浓度与总花粉孢子浓度的比值)可客观反映汇水流域山火情况。一般来讲,孢粉浓度可间接反映植被的覆盖程度,孢粉浓度高说明植被覆盖度好;炭屑浓度可间接反映山火的频率,炭屑浓度大说明山火频率高。图2示意黄洞水库1960—2009年沉积物平均粒径、C/P值和汇水流域降水统计数据。

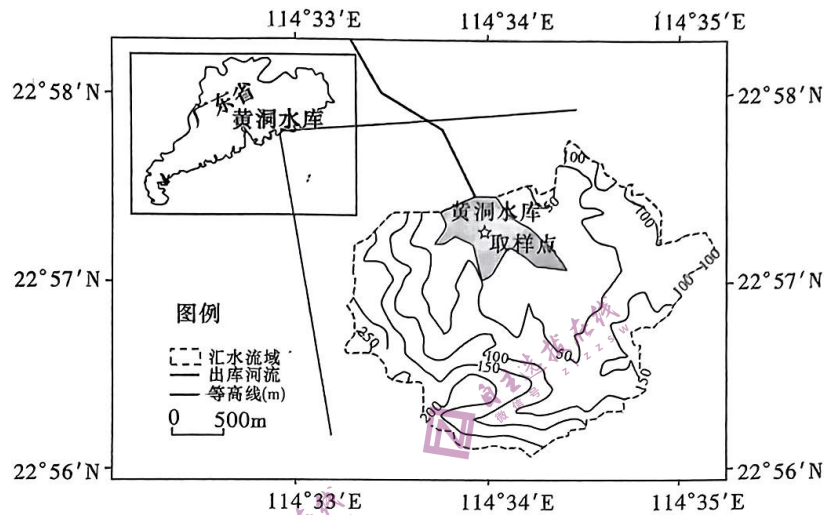


图1

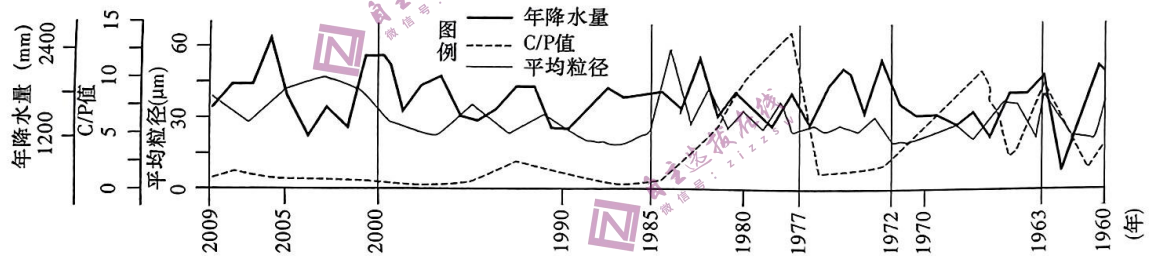


图2

(1)水库有防洪、发电、航运、灌溉、养殖、旅游等功能。据此推断黄洞水库修建的主要目的及判断依据。(5分)

(2)研究者发现1963年黄洞水库流域发生放火烧荒开垦耕地的人类活动。根据图2,请为研究者寻找理论佐证。(4分)

(3)据材料分析2000—2005年该水库流域范围内土壤侵蚀状况及原因。(6分)

19. 阅读图文材料,完成下列要求。(15分)

大气边界层是靠近地球表面、受地面摩擦阻力影响的大气层区域。大气流过地面时,地面上各种粗糙元素,如草、沙粒、庄稼、树木、房屋等会使大气流动受阻,这种摩擦阻力会随高度的增加而逐渐减弱,达到某一高度后便可忽略。此高度称为大气边界层厚度,它随气象条件、地形、地面粗糙度而变化,大致为300~1000米。

在大气边界层内,风速、温度和湿度都有明显的日变化,这种日变化随高度减弱。海南岛春夏季北部开阔地区平均边界层较高;秋冬季海岛的西北—东—东南沿岸的半环绕地带平均边界层较高;岛内中南部山区平均边界层高度较低且季节变化不大。各季盛行风向及海风发展因素与平均边界层的空间分布之间有良好的对应关系。

大气边界层是地球表面与自由大气进行物质、能量交换的主要空间。研究大气边界层结构特征以及大气边界层内部气象要素的变化规律,有助于我们理解和预测空气质量变化。在稳定边界层状况下,污染物不易扩散,容易造成更为严重的大气污染。

图1示意海南岛及邻近海区地形和海陆分布,图2示意四测站大气边界层高度的平均日变化和季节变化特征。

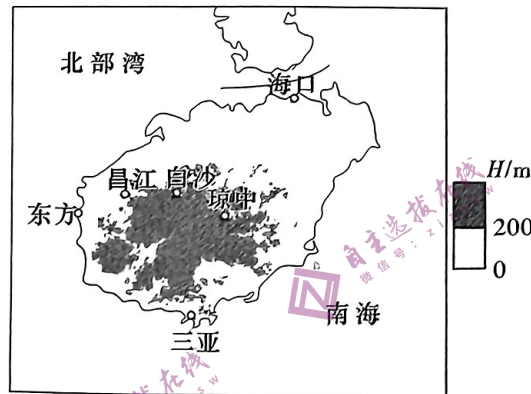


图1

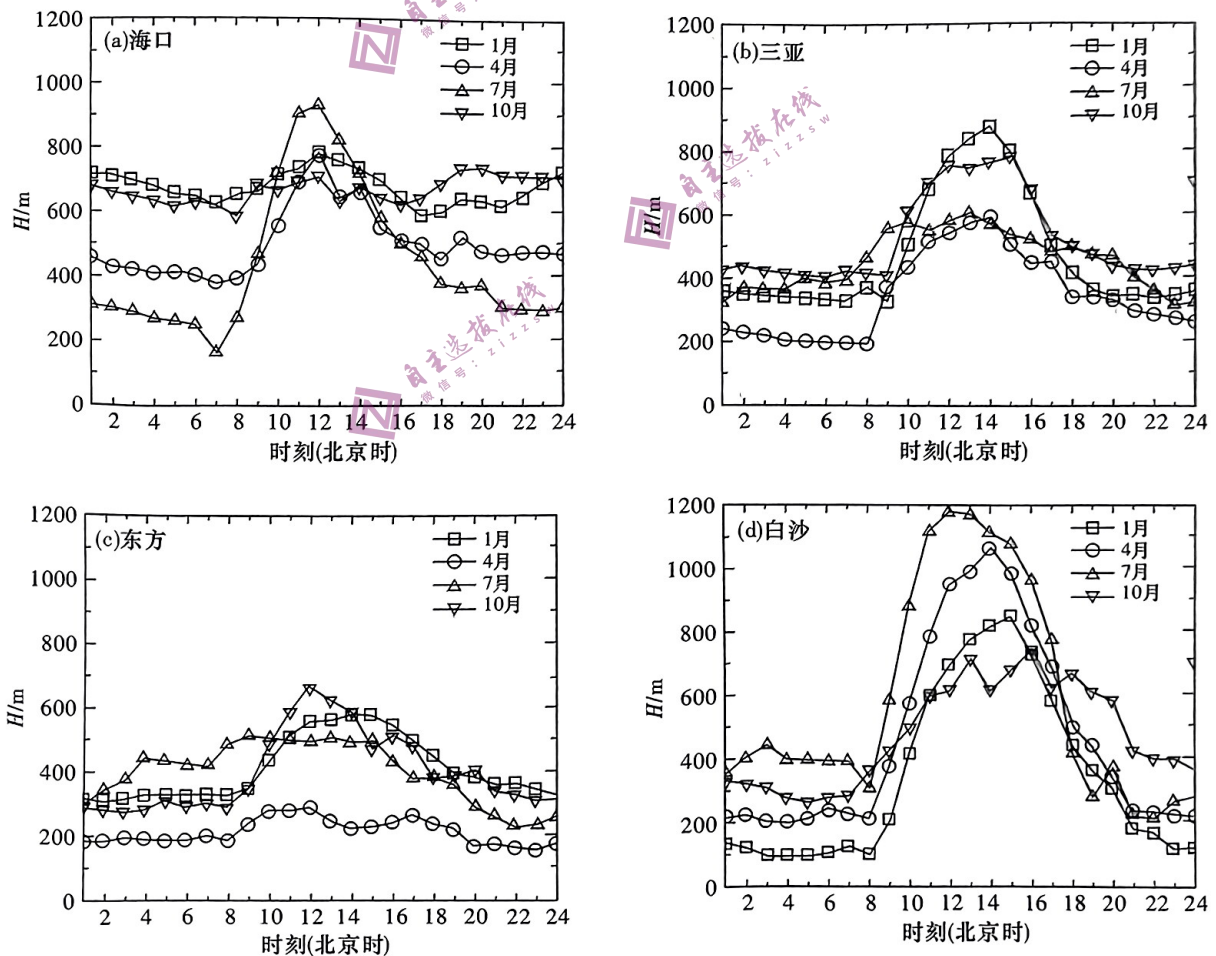


图2

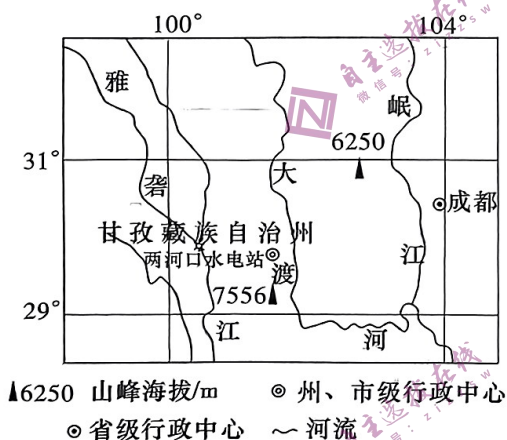
(1)图 2 中显示东方站大气边界层各季的日变化都较弱,高度较低。试分析其原因。(4 分)

(2)据材料说明海口站和三亚站大气边界层高度的日变化季节分布特征、差异及原因。(7 分)

(3)对于“人类是否应干预大气边界层高度”这一问题,提出自己的观点,并说明理由。(4 分)

20. 阅读图文材料,完成下列要求。(12 分)

2022 年 7 月 8 日全球最大的水光互补电站——雅砻江两河口水电站水光互补一期项目柯拉光伏电站正式开工建设。水光互补开发模式,可以通过水电站对光伏电站进行日内调节,促进新能源消纳。同时,通过水电和光伏发电年内出力特性互补,可以提升送出线路的利用率,提高综合发电效益。项目建设还通过“光伏+畜牧业”“光伏+基础设施提升”“光伏+就业”等一系列措施,带动民族地区农牧等产业发展,产生“光伏+N”的效益。



(1)结合光伏和水电的特点,分析如何实现水光互补。(8 分)

(2)柯拉项目产生了“光伏+N”的效益,从“光伏+畜牧业”“光伏+基础设施提升”和“光伏+就业”中任选一个加以说明。(4 分)